

شناسایی آلل‌های خود ناسازگاری در ژنوتیپ‌های آلو (تجاری و بومی) با استفاده از تکثیر آلل‌ها به روش واکنش زنجیره‌ای پلیمرز

مرضیه اتحادپور^۱، محمدرضا فتاحی مقدم^{۲*}، ذبیح‌الزمانی^۳

۱، ۲ و ۳- به ترتیب دانشجوی کارشناسی ارشد، دانشیاران گروه علوم باغبانی، پردیس

کشاورزی و منابع طبیعی دانشگاه تهران

* نویسنده مسئول مکاتبات، پست الکترونیکی: fattahi@ut.ac.ir

(تاریخ دریافت: ۸۹/۱۰/۱۳ - تاریخ پذیرش: ۹۰/۹/۸)

چکیده

در این بررسی، ژنوتیپ‌های S-RNase مربوط به ۳۴ ژنوتیپ آلو (*P.domestica*) از مناطق مختلف کشور به همراه ۵ رقم تجاری و نمونه میروبالان (جمعاً ۴۰ ژنوتیپ) بوسیله تکثیر آلل‌های S با جفت آغازگرهای دژنره و به روش PCR بر اساس ناحیه حفاظت‌شده ژن S-RNase جنس پرونوس مورد مطالعه قرار گرفت. با استفاده از جفت آغازگرهای دژنره EM PC2consFD/ EM PC3consRD تعداد ۲۳ باند در محدوده ۱۸۳۰-۳۲۰ جفت باز مشاهده شد که ۱۴ باند مربوط به آلل‌های گزارش شده قبلی و ۹ باند جدید بود. در ژنوتیپ‌های مورد بررسی، ۲۳ ژنوتیپ دو باند نشان دادند که هتروزیگوسیتی در این مکان را نشان می‌دهد و بقیه ژنوتیپ‌ها فقط یک باند نشان دادند. بر اساس نتایج بدست آمده آلل‌های S_c، باند ۶۲۱ bp و S_i به ترتیب با ۳۰، ۱۷/۵ و ۱۲/۵ درصد بیشترین فراوانی را در ژنوتیپ آلوهای ایرانی داشتند که آلل S_c بیشترین فراوانی (۱۷/۱ درصد) را در جمعیت ولیان کرج نشان داد. ژنوتیپ S سانتاروزا در این بررسی S_iS_c تشخیص داده شد که با گزارش‌های قبلی (S_cS_c) متفاوت است. همچنین ژنوتیپ S شایرو در این آزمایش دو آلل نشان داد (S_iS_i) در صورتی که قبلاً یک باند (S_i) گزارش شده بود. اختلاف ژنوتیپ‌های S مشاهده شده و گزارش شده در ارقام شایرو و سانتاروزا ممکن است به دلیل موتاسیون در مکان S باشد و یا اینکه ژنوتیپ ارقام موجود در این بررسی با ژنوتیپ ارقام گزارش شده متفاوت باشد. جفت آغازگر دژنره EM PC5consRD/ PaConsI-F/ تعداد ۱۴ باند در محدوده ۲۴۹۵-۸۷۵ جفت باز در ژنوتیپ‌های مورد بررسی ایجاد کرد. با استفاده از این جفت آغازگر در ۲۵ نمونه از ژنوتیپ‌های مورد بررسی دو باند نشان دادند و بقیه آن‌ها یک باند نشان دادند. همچنین یک ژنوتیپ هیچ‌گونه بانندی با استفاده از هر دو جفت آغازگر نشان نداد. نتایج این بررسی نشان داد که PCR می‌تواند یک روش سریع و مؤثر برای تعیین ژنوتیپ‌های خودناسازگاری در آلو می‌باشد.

واژه‌های کلیدی

آلل‌های S-RNase،
خودناسازگاری گامتوفیتیک،
ژنوتیپ‌های بومی آلو.

مقدمه

آلو از جمله گونه‌های مهم جنس پرونوس است که جایگاه ویژه‌ای در صنعت میوه‌کاری دارد. مقدار تولید جهانی آلو و گوجه در سال ۲۰۰۹ حدود ۱۰۷۷۶۲۳۲ تن و سطح زیر کشت آن حدود ۲۵۳۴۸۷۳ هکتار بوده است.

کلاسیک با گرده‌افشانی‌های کنترل شده و مشاهده رشد لوله گرده با میکروسکوپ انجام می‌شود (Imani 1383). به علاوه، روش‌های مولکولی DNA مانند شناسایی آلل‌های مربوط به ناسازگاری (Ishimizu et al. 1999) و روش‌های بیوشیمیایی مانند تجزیه گلیکوپروتئین‌های خامه (SRNase) نیز استفاده می‌شود (Murfett et al. 1992). آلل‌های S و گروه‌های ناسازگاری تعدادی از درختان میوه مانند گیلاس (Wang et al. 2010)، بادام (Halasz et al. 2008) و (عبادی و همکاران، ۱۳۹۰)، سیب (Kitahara et al. 2005)، گلابی آسیایی (Sanzol and Herrero, 2002)، زردآلو (Feng et al. 2006) با استفاده از روش‌های مولکولی گزارش شده است. آلوهای دیپلوئید (آلوهای ژاپنی و میروبالان) خودناسازگار هستند و خودسازگاری به صورت یک پدیده استثنایی در آن‌ها دیده می‌شود که به دلیل دارا بودن آلل S_e (آلل خودسازگار) می‌باشد (Szabo 2003). وضعیت سازگاری در آلوهای اروپایی از حالت خودناسازگاری کامل تا خودسازگاری کامل متغیر است (Hegedus and Halasz 2006). درصد تشکیل میوه متغیر در آن‌ها ممکن است ناشی از دانه‌های گرده با چندین آلل و یا شرایط متفاوت محیطی در سال‌های مختلف باشد. در دانه گرده با چند آلل، آلل‌های S ممکن است به صورت رقابتی عمل کنند به طوری که دانه گرده‌ای که در خامه رشد می‌کند دارای آلل S مشابه با والد مادری باشد. (Tobutt et al. 2004). در آلوی ژاپنی S-RNase یک گلیکوپروتئین با وزن ملکولی حدود ۳۰ کیلو دالتون می‌باشد که حاوی دو مکان فعال برای RNase نوع T_2/S ، پنج منطقه محافظت شده و یک مکان با تنوع خیلی بالا می‌باشد که منحصراً در مادگی بیان می‌شود. اولین ژنوتیپ S ($S_a S_b$) در آلوی ژاپنی رقم 'Sordum' توسط Yamane گزارش شد. سپس Beppu تنوع آلل‌های S را در آلوهای ژاپنی با استفاده از آغازگرهای طراحی شده از توالی‌های حفاظت شده S-RNase رزاسه گزارش کردند. آن‌ها ۱۴ آلل S متفاوت (S_a-S_n) شناسایی کردند و دریافتند که ژن S-RNase آلوی ژاپنی همانند دیگر گونه‌های جنس پرونوس دارای دو اینترون می‌باشد. تاکنون ۲۷ آلل S توسط Sapir, Beppu, Zhang و Guerrra در آلوی ژاپنی گزارش شده است. موتاسیون در سیستم خودناسازگاری گامتوفیتیک ممکن است باعث ایجاد خودسازگاری شود (Tao et al. 2007)

(FAO 2009). آلوها به طور جداگانه در سه منطقه اروپا، آسیا و آمریکای شمالی اهلی شده‌اند. پایه کروموزومی تمام آلوها $x=8$ است که ژنوم دیپلوئید تا هگزاپلوئید داشته و از چین تا اروپا گسترش دارند. یکی از عوامل بسیار مهم در گرده‌افشانی و تشکیل میوه وضعیت سازگاری است. خودناسازگاری یک مکانیسم ژنتیکی می‌باشد که گیاهان گلدار برای افزایش دگرگشتی و جلوگیری از پس روی ژنتیکی به کار گرفته‌اند. بسیاری از آلوها خودناسازگار هستند و تولید میوه از طریق خودگشتی در آن‌ها امکان‌پذیر نمی‌باشد. همچنین آلوها همانند دیگر گونه‌های هسته-دار قادر به تولید میوه به صورت پارتنوکارپ نیستند و به دلیل این که باروری کافی برای تشکیل میوه اهمیت دارد لذا ژنوتیپ خودناسازگاری آن‌ها مورد مطالعه گسترده قرار گرفته است. شناسایی آلل‌های خودناسازگاری جهت انتخاب صحیح درختان گرده‌زا و افزایش عملکرد در باغ‌های تجاری و همچنین در برنامه‌های اصلاحی به منظور اطمینان از موفقیت در تلاقی‌های کنترل شده حائز اهمیت می‌باشد (Lopez et al. 2006). خودناسازگاری به طور گسترده‌ای در خانواده‌های گیاهی سیب‌زمینی، رز و میمون در سطح ملکولی مطالعه شده است که در تمام آن‌ها به صورت گامتوفیتیک کنترل می‌شود. خودناسازگاری گامتوفیتیک در خانواده رزاسه توسط دو ژن به نام‌های S و SFB که در مکان ژنی S واقع هستند کنترل می‌شود. فاصله بسیار نزدیک این دو ژن روی DNA کروموزومی باعث می‌شود که احتمال کراسینگ اور بسیار کاهش یابد بنابراین هر دو ژن با هم به توارث می‌رسند (Kao and Tsukamoto 2004). ژن S -RNase در خانواده‌های سیب‌زمینی، رز و میمون یک گلیکوپروتئین درون مادگی بیان می‌کند که توالی آن در خانواده رزاسه تنوع بالایی نشان داده است. ژن S -RNase تمام هسته دارها دارای دو اینترون می‌باشد که در آلل‌های مختلف اندازه‌های متفاوتی دارند. اینترون اول که از نظر اندازه کوچکتر است بین توالی پپتید راهنما و اولین ناحیه محافظت شده قرار دارد و اینترون دوم با فاصله بیشتر درون ناحیه با تنوع بالا است. همچنین ۵ ناحیه محافظت شده با نام‌های C5، C1، C2، C3، C4 در توالی آمینو اسیدهای آن‌ها قابل شناسایی است (Ushijima et al. 1998). روابط سازگاری بین ژنوتیپ‌ها و شناسایی گروه‌های ناسازگاری آن‌ها در درختان میوه به صورت

که از مناطق مختلف کشور جمع آوری شده است به همراه ۵ رقم تجاری شامل: سانتاروزا، شاپرون، مجار، شاپرو، قطره طلا، و نمونه میروبالان بودند (جدول ۱).

استخراج DNA از نمونه‌های برگگی و با استفاده از روش Murray and Thompson (۱۹۸۰) با اندکی تغییرات بود که شامل افزودن PVP (۲۰ گرم در لیتر) به بافر استخراج و افزایش زمان قرار دادن نمونه‌ها در آب گرم ۶۵ درجه از ۳۰ دقیقه به یک ساعت بود. برای تکثیر عمومی آلل‌های S از جفت آغازگر دژنره ایترون دوم شامل آغازگر پیش‌رو EM PC2consRD و پس‌رو (معکوس) EM PC3consRD طراحی شده توسط ساترلند و جفت آغازگر دژنره جفت ایترون شامل آغازگر پیش‌رو PaConsI-F (Sonneveld et al. 2003) با آغازگر پس‌رو (معکوس) EM PC5consRD (Sutherland et al. 2004) استفاده گردید.

در آزمایش‌های مربوط به خود و یا دگر کرده‌افشانی که بین وارپته‌های دارای ژنوتیپ S_eS_e توسط Beppu انجام شد نتایج بر اساس توارث ژنوتیپ S به دو گروه S_eS_e و S_eS_e تقسیم شدند که نشان می‌داد فقط آلل S_e از والد پدری به ارث می‌رسد. این نتایج آلل S_e را به‌عنوان آلل خودسازگاری تایید می‌کند. هدف این بررسی شناسایی آلل‌های ناسازگاری در ژنوتیپ‌های آلو موجود در ایران و چند ژنوتیپ تجاری با استفاده از واکنش زنجیره‌ای پلیمرز بوده است. شناسایی آلل‌های S-RNase ژنوتیپ‌های آلو و تعیین خود و دگرناسازگاری آن‌ها می‌تواند در انتخاب والدین در برنامه‌های اصلاحی و در انتخاب ارقام مناسب در باغ‌های تجاری مفید واقع شود.

مواد و روش‌ها

مواد گیاهی در این تحقیق شامل ۳۴ ژنوتیپ آلو موجود در ایستگاه تحقیقات گروه علوم باغبانی دانشگاه تهران در کرج بود

جدول ۱- اسامی ژنوتیپ‌های آلو مورد بررسی

شماره	ژنوتیپ	شماره	ژنوتیپ	شماره	ژنوتیپ	شماره	ژنوتیپ
۱	جواهرده ۱	۱۱	4M-47	۲۱	برچی نیشابور ۲	۳۱	86-n-4
۲	جواهرده ۲	۱۲	86-4mm-15	۲۲	آلو وحشی	۳۲	18-3
۳	جواهرده ۳	۱۳	ولیان ۱	۲۳	آلو شیرین هسته جدا (چناران)	۳۳	86-b3-4
۴	جواهرده ۴	۱۴	ولیان ۲	۲۴	اسجیل (چناران)	۳۴	درگری
۵	4M-63	۱۵	ولیان ۳a	۲۵	آلوچه کلات نادر ۲	۳۵	سانتاروزا
۶	4M-25	۱۶	ولیان ۳b	۲۶	آلوچه کلات نادر ۴	۳۶	شاپرون
۷	4M-91	۱۷	ولیان ۴	۲۷	بی نام ۱	۳۷	مجار
۸	4M-69	۱۸	ولیان ۵	۲۸	۸۶-۵۱-۳	۳۸	شاپرو
۹	4M-44	۱۹	ولیان ۶	۲۹	بی نام ۲	۳۹	قطره طلا
۱۰	4M-12	۲۰	برچی نیشابور ۱	۳۰	n-1	۴۰	پایه

کدها بیانگر ژنوتیپ‌های مخلوط از نواحی مختلف جمع آوری هستند

جدول ۲- جفت آغازگرهای دژنره مورد استفاده در روش PCR جهت تکثیر آلل‌های S در ژنوتیپ‌های مورد مطالعه آلو

نام آغازگر	کد آغازگر	نوع آغازگر	(5' ← 3') توالی آغازگر
EM PC2consFD	C2	پیش‌رو	TCA C(A/C)A T(C/T)C ATG GCC TAT
EM PC3consRD	C3	معکوس	A(A/T)(C/G) T(A/G)C C(A/G)T G(C/T)T TTG TCC ATT C
PaConsI-F	SP	پیش‌رو	(C/A)CT TGT TCT TG(C/G) TTT (T/C)GC TTT CTT C
EM PC5consRD	C5	معکوس	CAA AAT ACC ACT TCA TGT AAC A(A/G)

گردید. اندازه باندهای تکثیر یافته در ارقام آلو با استفاده از نشانگر اندازه یک کیلو جفت بازی (ساخت شرکت Fermentase به شماره کاتالوگ ۰۳۳۱ SM) مقایسه شدند. فواصل طی شده باندهای نشانگر با استفاده از نرم‌افزار Adobe Photoshop Image بدست آمد، سپس با استفاده از نرم‌افزار Excel رگرسیون فاصله طی شده باندهای نشانگر (Y) بر اندازه‌های باندهای نشانگر (X) برازش شد و فرمول مربوطه بدست آمد. سپس اندازه مربوط به باندهای آل‌های ناسازگاری با استفاده از فرمول بدست آمده محاسبه گردید. اندازه آل‌های S آلو توالی یابی شده و گزارش شده در NCBI بدست آمدند و با اندازه باندهای بدست آمده در این بررسی مقایسه شدند. ماتریس تشابه بین ژنوتیپ‌ها بر اساس اندازه آل‌های مکان S با استفاده از دو جفت پرایمر که ۳۷ باند تولید کرده بودند محاسبه و سپس تجزیه کلاستر بر اساس ماتریس تشابه بدست آمد.

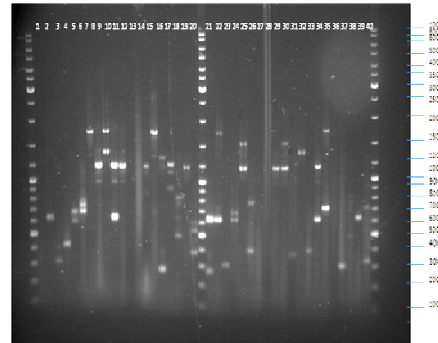
نتایج و بحث

آغازگر دژنره EM PC2consFD/ EM PC3consRD تعداد ۲۳ باند با اندازه‌های ۱۸۳۰-۳۲۰ bp در ۴۰ ژنوتیپ مورد بررسی مشاهده شد (شکل ۱). با مقایسه اندازه باندهای بدست آمده با اندازه آل‌های S آلو موجود در NCBI، بعضی از آن‌ها با تفاوت‌های جزئی با آل‌های گزارش شده یکسان در نظر گرفته شد (جدول ۴). همچنین ۹ باند با اندازه‌های متفاوت مشاهده شد که آل متناظر با آن‌ها در بین آل‌های شناخته شده یافت نشد که می‌توانند کاندید توالی‌یابی به عنوان آل جدید باشند. در مطالعات پیشین، Beppu et al. (2003) تنوع آل‌های S را در آلوهای ژاپنی با استفاده از پرایمرهای طراحی شده از توالی‌های حفاظت شده S-RNase گزارش کردند. آن‌ها ۱۴ آل S متفاوت (Sa-Sn) شناسایی کردند. Sapir et al. (2004) پنج آل S از سه رقم مهم تجاری آلوی ژاپنی بدست آوردند و آن‌ها را به صورت عددی نام‌گذاری کردند که چهار آل جدید بودند (S₃، S₄، S₅، S₆) و آل پنجم (S₁) از 'RedBeaut' متناظر با آل Sa بود که قبلاً توسط Yamane et al. (1999) شناسایی شده بود. Zhang et al. (2008) با استفاده از آغازگرهای طراحی شده از ناحیه محافظت شده ژن S-RNase پرونوس ۱۳ آل جدید (S₁₅-S₂₇) در ۱۷ رقم آلوی

محلول PCR در حجم ۱۷ میکرولیتر، شامل ۳ میکرولیتر از غلظت ۱۵ نانوگرم در میکرولیتر DNA ژنومی، ۱/۵ میکرولیتر از غلظت ۵ میکرومولار هر آغازگر، ۷/۵ میکرولیتر از محلول کیت PCR، ۳/۵ میکرولیتر آب دوبار تقطیر تهیه شد. کیت PCR از شرکت سیناژن (ایران) تهیه شد که شامل Taq، PCR buffer، dNTPs، DNA Polymerase و MgCl₂ بود. برنامه دمایی واکنش زنجیره‌ای پلیمرز به روش Sutherland et al. (2004) و بر اساس مراحل دمایی متناسب با هر جفت آغازگر (جدول ۳) با استفاده از دستگاه ترموسایکلر Bio-Rad Icyler انجام گرفت که برای جفت آغازگر اینترون دوم به صورت زیر انجام شد: یک چرخه ۲ دقیقه‌ای در ۹۴ درجه سانتی‌گراد و ۱۰ چرخه حرارتی شامل ۹۴ درجه سانتی‌گراد به مدت ۱۰ ثانیه، ۵۸ درجه سانتی‌گراد به مدت ۲ دقیقه و ۶۸ درجه سانتی‌گراد به مدت ۲ دقیقه و ۹۴ درجه سانتی‌گراد به مدت ۱۰ ثانیه، ۵۸ درجه سانتی‌گراد به مدت ۲ دقیقه و ۶۸ درجه سانتی‌گراد به مدت ۲ دقیقه که در هر چرخه ۱۰ ثانیه افزوده می‌شد. مراحل دمایی مربوط به جفت آغازگر جفت اینترون شامل یک چرخه واسرشت‌سازی اولیه در ۹۴ درجه سانتی‌گراد به مدت ۲ دقیقه و سپس تعداد ۳۵ چرخه شامل واسرشت‌سازی ثانویه در ۹۴ درجه سانتی‌گراد به مدت ۱۰ ثانیه، اتصال آغازگرها به رشته DNA در ۵۰ درجه سانتی‌گراد به مدت ۳ دقیقه، بسط در ۶۸ درجه سانتی‌گراد به مدت ۴ دقیقه که در هر چرخه بعد از چرخه دهم ۱۰ ثانیه افزوده می‌شد و در نهایت یک چرخه بسط نهایی در ۶۸ درجه سانتی‌گراد به مدت ۱۰ دقیقه بود. الکتروفورز محصول PCR در بافر TAE (IX) در تانک الکتروفورز ساخت شرکت Bio-Rad متناسب با محصول PCR تولید شده از هر جفت آغازگر انجام گرفت. الکتروفورز محصول PCR با جفت آغازگرهای اینترون دوم روی ژل آگارز ۱/۵ درصد به مدت ۵ ساعت در ۷۵ ولت انجام گردید و برای جفت آغازگرهای جفت اینترون، ژل آگارز ۱/۵ درصد، ولتاژ ۶۰ و برای مدت ۵ ساعت استفاده شد تا باندها کاملاً تفکیک و متمایز شوند. رنگ آمیزی ژل در محلول اتیدیوم بروماید به غلظت ۰/۵ میکروگرم در لیتر به مدت ۳۰ دقیقه انجام شد و پس از آن باندهای تکثیر شده در زیر نور ماورا بنفش آشکار و عکس برداری از آن‌ها توسط دستگاه ژل داگ انجام

مشاهده شده و گزارش شده در ارقام شایرو و سانتاروزا ممکن است به دلیل موتاسیون باشد و یا اینکه ژنوتیپ ارقام موجود در ایستگاه تحقیقات با ژنوتیپ ارقام گزارش شده متفاوت باشد. در آزمایشی که توسط Guerra et al. (2009) برای شناسایی آلل‌های S در آلودگی ژاپنی انجام شد ژنوتیپ‌های S متفاوتی برای رقم‌های 'Kelsey' ($S_h S_k$)، 'Green Sun' ($S_b S_c$) و 'Friar' ($S_b S_h$) گزارش شد که مطالعات قبلی به ترتیب با ژنوتیپ‌های S ($S_f S_h$)، ($S_c S_h$) و ($S_h S_k$) گزارش شده بودند. هر دو ژنوتیپ گزارش شده برای 'Kelsey' متناسب با توارث S-allele از والدین آن بوده است. ارقام سانتاروزا و شابرون موجود در ایستگاه تحقیقات ژنوتیپ S یکسانی نشان دادند ($S_b S_c$) بنابراین در یک گروه دگر ناسازگاری قرار می‌گیرند و گرده‌دهنده مناسبی برای یکدیگر نخواهند بود و برای تولید میوه کافی حتماً به ژنوتیپ‌های دیگری با آلل‌های S متفاوت نیاز دارند. ژنوتیپ S رقم شابرون تا کنون گزارش نشده است. ژنوتیپ‌هایی که دارای یک آلل S مشترک هستند سازگاری نسبی با یکدیگر داشته و پتانسیل پایینی به عنوان گرده‌دهنده برای یکدیگر دارند. در این پژوهش آلل خودباروری (S_e) در ژنوتیپ‌های ویان ۴، n-1 و آلودگی وحشی شناسایی شد. آلل S_e به‌عنوان آلل خودسازگاری در آلو شناخته شده است که معادل S_5 است. Halasz طول باند ۱۴۵۰ bp را با استفاده از جفت آغازگر EM PC2consFD/ EM PC3consRD برای S_e در نظر گرفت. آلل مشابهی در ژنوتیپ‌های 'Santa Rosa' و 'Sweet utumn' شناسایی شده است. بر اساس نتایج بدست آمده با استفاده از روش PCR آلل S_e باند ۶۲۱ و آلل S_f به ترتیب با ۳۰، ۱۷/۵ و ۱۲/۵ درصد بیشترین فراوانی را در ژنوتیپ‌های آلودگی ایرانی داشتند که آلل S_e بیشترین فراوانی (۱۷/۱ درصد) را در جمعیت ویان کرج نشان داد همچنین یکی از آلل‌های شابرون و سانتاروزا نیز آلل S_e بود. Sapir فراوانی آلل S_e را در ۴۳ ژنوتیپ آلودگی ژاپنی ۱۶/۸ درصد بدست آوردند. آلل‌های S_e ، S_h ، S_i ، S_{19} ، S_{22} ، S_{23} و باندهای ۶۶۵ و ۳۹۵ کمترین فراوانی (۲/۵ درصد) را نشان دادند (شکل ۲). ارقام سانتاروزا و شابرون موجود در ایستگاه تحقیقات ژنوتیپ S یکسانی نشان دادند ($S_b S_c$) بنابراین در یک گروه دگر ناسازگاری قرار می‌گیرند و گرده‌دهنده مناسبی برای یکدیگر نخواهند بود و برای تولید میوه کافی حتماً به ژنوتیپ‌های

ژاپنی بدست آوردند. Guerra گروه‌های ناسازگاری ۶۸ ژنوتیپ آلودگی ژاپنی را بوسیله تکثیر ژن *S-RNase* به‌روش PCR مشخص کردند که ۱۲ گروه ناسازگاری جدید توصیف شد. ژنوتیپ S مربوط به ۵۰ رقم برای اولین بار گزارش شد و ۵ آلل جدید-S-*RNase* (So- Sp- Sq- Sr- Ss) نیز شناسایی شد.



شکل ۱- تکثیر آلل‌های خودناسازگاری در آلو با استفاده از جفت آغازگر EM PC2consFD/PC3consRD با روش PCR. نمونه‌ها از چپ به راست: جواهرده ۱، 86-n-4، ویان ۵، اسجیل (چناران)، 86-4mm-15، مجار، آلودگی وحشی، 4M-47، n-1، کلات نادر ۴، 4M-44، برجی نیشابور ۱، ویان ۳a، ویان ۲، 4M-69، جواهر ده ۳، قطره طلا، آلودگی شیرین هسته جدا (چناران)، 4M-12، شایرو، بی نام ۱، آلوچه کلات نادر ۲، ویان ۳b-۵۱-۳، شابرون، بی نام ۲، جواهر ده ۲، 4M-91، ویان ۶، سانتاروزا، برجی نیشابور ۲، ویان ۴، 86-b3-4، 4M-25، 4M-63، ویان ۱، جواهر ده ۴، میروبالان، درگزی

در ژنوتیپ‌های مورد بررسی، ۲۳ ژنوتیپ دو باند نشان دادند که نشان‌دهنده هتروزیگوت بودن مکان S آن‌ها می‌باشد در حالی که ژنوتیپ‌های جواهرده ۱، 86-n-4، ویان ۵، اسجیل (چناران)، آلودگی وحشی، ویان ۲، 4M-12، ویان ۳، جواهر ده ۲، ویان ۶، ویان ۴، 86-b3-4، 4M-63، ویان ۱، میروبالان فقط یک باند نشان دادند که ممکن است به دلیل هموزیگوت بودن در مکان S باشد (جدول ۵) و یا آلل دوم در این رقم‌ها ممکن است با استفاده از این جفت آغازگر قابل شناسایی نباشد. عدم امکان شناسایی تمام آلل‌های خودناسازگاری با استفاده از جفت آغازگرهای عمومی به‌روش PCR در بادام توسط Sanchez et al. (2004) اعلام شده است. همچنین Halasz (2007) گزارش کرد که تکثیر یک باند در رقم شایرو (S_f) ممکن است به دلیل آلل‌های با اندازه ایترون مشابه باشد در حالی که رقم شایرو در این آزمایش دو آلل ($S_h S_i$) نشان داد. ژنوتیپ S سانتاروزا در این بررسی ($S_b S_c$) بدست آمد که با نتایج گزارش شده توسط Guerra متفاوت بود. آن‌ها ژنوتیپ $S_e S_e$ را برای سانتاروزا گزارش کردند. اختلاف ژنوتیپ‌های S

به ترتیب با ۳۰، ۱۷/۵ و ۱۲/۵ درصد بیشترین فراوانی را در ژنوتیپ‌های آلو ایرانی داشتند که آلل S_e بیشترین فراوانی (۱۷/۱ درصد) را در جمعیت ویان کرج نشان داد همچنین یکی از آلل‌های شابرون و ساتنروزا نیز آلل S_c بود. Sapir و همکاران (۲۰۰۸) فراوانی آلل S_c را در ۴۳ ژنوتیپ آلو ژاپنی ۱۶/۸ درصد بدست آوردند. آلل‌های $S_e, S_h, S_i, S_j, S_k, S_m, S_{23}, S_{22}, S_{19}$ و باندهای ۶۶۵ و ۳۹۵ کم‌ترین فراوانی (۲/۵ درصد) را نشان دادند (شکل ۲). با استفاده از جفت آغازگر EM PC2consFD/ EM PC3consRD برای S_e در نظر گرفت. آلل مشابهی در ژنوتیپ‌های 'Santa Rosa' و 'Sweet utumn' شناسایی شده است. بر اساس نتایج بدست آمده با استفاده از روش PCR آلل S_c ، باند ۶۲۱ و آلل S_i

دیگری با آلل‌های S متفاوت نیاز دارند. ژنوتیپ S رقم شابرون تا کنون گزارش نشده است. ژنوتیپ‌هایی که دارای یک آلل S مشترک هستند سازگاری نسبی با یکدیگر داشته و پتانسیل پایینی به عنوان گرده‌دهنده برای یکدیگر دارند. در این پژوهش آلل خودباروری (S_e) در ژنوتیپ‌های ویان $E, n-1$ و آلو وحشی شناسایی شد. آلل S_e به‌عنوان آلل خودسازگاری در آلو شناخته شده است که معادل S_5 است. Halasz طول باند ۱۴۵۰ bp را با استفاده از جفت آغازگر EM PC2consFD/ EM PC3consRD برای S_e در نظر گرفت. آلل مشابهی در ژنوتیپ‌های 'Santa Rosa' و 'Sweet utumn' شناسایی شده است. بر اساس نتایج بدست آمده با استفاده از روش PCR آلل S_c ، باند ۶۲۱ و آلل S_i

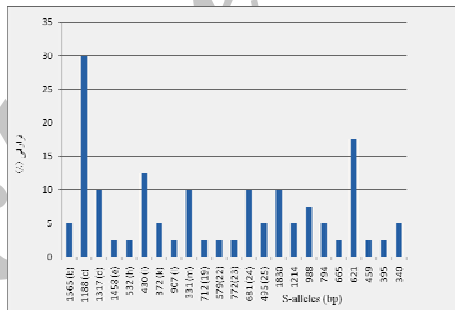
جدول ۴- اندازه باندهای مشاهده شده، اندازه نزدیک‌ترین آلل در NCBI و تفاوت آلل‌های مشاهده شده با آلل‌های متناظر در NCBI

اندازه باندهای مشاهده شده (bp)	نزدیک‌ترین آلل در NCBI (bp)	نام آلل	تفاوت آلل‌های S آلو موجود در NCBI با آلل‌های مشاهده شده متناظر (bp)
1574	1565	S_b	9
1430	1458	S_e	-28
1317	1317	S_d	0
1181	1188	S_c	-7
923	907	S_j	16
768	772	S_{23}	-4
731	712	S_{19}	19
692	681	S_{24}	11
596	579	S_{22}	17
534	532	S_h	2
505	495	S_{25}	10
412	430	S_i	-18
364	372	S_k	-8
326	331	S_m	-5
* اندازه باندهای جدید مشاهده شده			
1830	-	S_l	-
1214	-	S_{II}	-
988	-	S_{III}	-
794	-	S_{IV}	-
665	-	S_V	-
621	-	S_{VI}	-
459	-	S_{VII}	-
395	-	S_{VIII}	-
340	-	S_{IX}	-

* نام باندهای جدید با حروف یونانی مشخص شده است.

جدول ۵- طول باند S در ژنوتیپ‌های مورد مطالعه با استفاده از دو جفت آغازگرهای EM PC2consFD/ EM PC3consRD و PaConsI-F/ EM PC5consRD

شماره	رقم	ژنوتیپ S	اندازه آلل مشاهده شده	شماره	رقم	ژنوتیپ S	اندازه آلل مشاهده شده
۱	جواهرده ۱	S _c	۱۶۶۰, ۱۹۰۵	۲۱	برجی نیشابور ۲	S _{VIII}	۱۰۷۰, ۱۶۶۰
۲	جواهرده ۲	S _c	۱۰۲۰, ۱۶۶۰	۲۲	آلوی وحشی	S _I S _c	۱۶۶۰, ۲۴۹۵
۳	جواهرده ۳	S _d S _m	۱۶۶۰	۲۳	آلوی شیرین هسته جدا (چناران)	S _{IV} S ₂₅	۱۱۷۰, ۱۳۹۰, ۱۵۲۰, ۲۲۸۰
۴	جواهرده ۴	S _{IV} S ₂₅	۱۱۷۰, ۱۶۶۰	۲۴	اسجیل (چناران)	S _{VII}	۱۰۷۰
۵	4M-63	S _d	۱۶۶۰, ۲۱۴۱	۲۵	آلوچه کلات نادر ۲	S _I S _{VI}	۱۸۰۰ و ۲۴۹۵
۶	4M-25	S ₂₄ S _I	۱۵۲۰, ۲۴۹۵	۲۶	آلوچه کلات نادر ۴	S _c S _{VI}	۱۳۹۰, ۱۹۰۵
۷	4M-91	S _d S _m	۹۴۰, ۲۱۴۱	۲۷	بی نام ۱	S _{VI} S _m	۸۷۵
۸	4M-69	S _I S _d	۲۰۵۳ و ۲۴۹۵	۲۸	۸۶-۵۱-۳	S _{VI} S _V	۱۰۲۰, ۱۲۵۰
۹	4M-44	S _c S _{III}	۱۶۶۰, ۱۹۰۵	۲۹	بی نام ۲	S ₂₃ S _I	۱۵۲۰
۱۰	4M-12	S _c	۱۹۰۵	۳۰	n-1	S _c S _I	۲۱۴۱, ۲۴۹۵
۱۱	4M-47	S _c S _{III}	۱۲۵۰, ۱۹۰۵	۳۱	86-n-4	S _{VI}	۱۶۶۰, ۲۱۴۱
۱۲	86-4mm-15	S ₂₂ S ₂₄	۱۳۹۰, ۱۶۶۰	۳۲	18-3	S _{VI} S _c	۱۹۰۵
۱۳	ولیان ۱	S _{IX}	۱۰۲۰, ۱۶۶۰	۳۳	86-b3-4	S _I	۱۱۷۰
۱۴	ولیان ۲	S _c	۱۰۲۰, ۲۰۵۳	۳۴	درگزی	S _k S ₂₄	-
۱۵	ولیان ۳a	S _c S _I	۱۰۲۰, ۱۶۶۰	۳۵	سانتاروزا	S _c S _b	۱۹۰۵, ۲۲۸۰
۱۶	ولیان ۳b	S _{IX}	۸۷۵, ۹۴۰	۳۶	شاپرون	S _c S _b	۱۹۰۵, ۲۲۸۰
۱۷	ولیان ۴	S _c	۲۱۴۱	۳۷	مجار	S _{I9} S ₂₄	۱۳۹۰, ۱۵۲۰
۱۸	ولیان ۵	S _k	۱۰۲۰, ۹۴۰	۳۸	شایرو	S _{II} S _I	۱۰۷۰, ۱۲۵۰
۱۹	ولیان ۶	S _c	۱۹۰۵	۳۹	قطره طلا	S _{II} S _I	۱۲۵۰, ۱۸۰۰
۲۰	برجی نیشابور ۱	-	-	۴۰	میروبالان	S _k S ₂₄	-



شکل ۲- مقایسه فراوانی نسبی آلل‌های S در ژنوتیپ‌های مورد بررسی آلو با استفاده از جفت آغازگر EM PC2consFD/EM PC3consRD



شکل ۳- تکثیر آلل‌های خود ناسازگاری با استفاده از جفت آغازگر PaConsI-F/ EM PC5consRD در آلو با روش PCR. نمونه‌ها از چپ به راست: جواهرده ۱، 86-n-4، ویلیان ۵، اسجیل (چناران)، 86-4mm-15، ویلیان ۳a، ویلیان ۳b، 4M-44، برجی نیشابور ۱، ویلیان ۳a، ویلیان ۲، 4M-69، جواهر ده ۳، قطره طلا، آلوی شیرین هسته جدا (چناران)، 4M-12، شایرو، بی نام ۱، آلوچه کلات نادر ۲، ویلیان ۳b، ۸۶-۵۱-۳، شاپرون، بی نام ۲، جواهر ده ۲، 4M-91، ویلیان ۲، 86-b3-4، 4M-63، 4M-25، 18-3، ویلیان ۱، جواهر ده ۴، میروبالان، درگزی

اینترن دوم است و توالی‌یابی آلل‌های S بر اساس این ناحیه بوده است و فقط برای چند آلل S بر اساس اینترن اول صورت گرفته است. به همین دلیل اطلاعات ثبت شده برای جفت آغازگر مربوط به جفت اینترن در NCBI مشاهده نشد.

نتیجه‌گیری کلی

بر اساس نتایج بدست آمده از تکثیر آلل‌های S آلو بوسیله جفت آغازگر مربوط به اینترن دوم هسته‌دارها، ۲۳ باند با اندازه‌های ۱۸۳۰-۳۲۰ مشاهده شد که ۱۴ آلل آن قبلاً شناسایی شده بود و ۹ باند با طول‌های متفاوت بدست آمد. ژنوتیپ S نمونه‌های مورد بررسی تنوع بالایی نشان داد. بعضی از ژنوتیپ‌ها فقط یک باند نشان دادند که برای تکثیر هر دو باند می‌توان از جفت آغازگرهای تخصصی بهره گرفت. تعداد ۱۴ باند با اندازه‌های ۲۴۹۵-۸۷۵ با استفاده از جفت آغازگر مربوط به هر دو اینترن مشاهده گردید. به دلیل عدم وجود توالی‌های مربوط به اینترن اول در NCBI، نوع آلل تکثیر شده با این روش مشخص نگردید.

منابع

- Imani A (1383) Flowering biology of temperate fruit (seed bookmarks, bookmarks kernel, dried fruits and fruit fine grain) (translations), published by the Senate.
- Ebadi AS, Kamali K, M Moghaddam Fattahi, M Naqvi, as faith, and horizontal H (1390) Genotyping of self almonds from a breeding program and recognition of the S allele and genotype in some varieties of almonds with external of PCR. Journal of plant breeding and seed, f 1-27, Number 1: 67-57.
- Beppu K, Komatsu N, Yamane H, Yaegaki H, Yamaguchi M, Tao R and Kataoka I (2005) Se-haplotype confers self-compatibility in Japanese plum (*Prunus salicina* Lindl) . Journal of Horticultural Science and Biotechnology, 80: 760-764.
- Beppu K, Takemoto Y, Yamane H, Yaegaki H, Yamaguchi M, Kataoka I and Tao R (2003) Determination of S-haplotypes of Japanese plum (*Prunus salicina* Lindl.) cultivars by PCR and cross-pollination tests. Journal of Horticultural Science and Biotechnology, 78: 315-318.
- Beppu K, Yamane H, Yaegaki H, Yamaguchi M, Kataoka I and Tao R (2002) Diversity of S-RNase genes and S-haplotypes in Japanese plum (*Prunus salicina* Lindl.). Journal of Horticultural Science and Biotechnology, 77: 658-664.
- Feng J, Chen X, Wu Y, Liu W, Liang Q and Zhang L (2006) Detection and transcript expression of S-RNase gene associated with self-incompatibility in apricot (*Prunus armeniaca* L.). Molecular Biology Reports, 33: 215-221.
- Guerra M E, Rodrigo J, Lopez- Corrales M and Wunsch A (2009) S-RNase genotyping and incompatibility group assignment by PCR and pollination experiments in Japanese plum. Plant Breeding, 128: 304-311
- Halasz J (2007) DNA-based S-genotyping of Japanese Plum and Plum cultivars to clarify incompatibility relationship. HortScience, 42: 46-50.
- Halasz J, Fodor A, Hegedus A, Pedryc A (2008) Identification of a new self-incompatibility allele (S31) in a Hungarian almond cultivar and its reliable detection. Scientia Horticulturae, 116: 448-451.
- Hegedus A Halasz J (2006) Self- incompatibility in plums (*Prunus salicina* Lindl., *Prunus cerasifera* Ehrh. and *Prunus domestica* L.). International Journal of Horticultural Science, 12: 137-140.
- Ishimizu T, Inoue K, Shimonaka M, Satio T, Terai A, Noriok S (1999) PCR-based method for identifying the S-genotypes of Japanese pear cultivars. Theoretical and Applied Genetics, 98: 961-967.
- Kao T Tsukamoto T (2004) The molecular and genetic bases of S-RNase-based self-incompatibility. The Plant Cell, 16: S72-S83.
- Kitahara K, Matsumoto S, Yamamoto T, Soejima J, Kimura T, Komatsu H Abe K (2005) Molecular characterization of apple cultivars in Japan by S-RNase

- analysis and SSR markers. Journal of the American Society for Horticultural Science, 130: 885–892.
- Lopez M, Vargas FJ and Batlle I (2006) Self-incompatibility in almond genotypes: A review. Euphytica, 150: 1-16.
- Murfett J, Cornish EC, Ebert PR, Bonig I, McClure BA and Clarke AE (1992) Expression of a Self-Incompatibility Glycoprotein (S2-Ribonuclease) from *Nicotiana glauca* in Transgenic *Nicotiana tabacum*. The Plant Cell, 9: 1063-1074.
16. Murray HG, Thompson WF (1980) Rapid isolation of high molecular weight DNA. Nucleic Acids Research, 8: 4321-4325.
- Ortega E, Sutherland BG, Dicenta F, Boskovic R, Tobutt KR (2005) Determination of incompatibility genotypes in almond using first and second intron consensus primers: detection of new S-alleles and correction of reported S-genotypes. Plant Breeding, 124: 188–196.
- Sanchez R, Dicenta F, Martinez-Gomez P (2004) Identification of S-alleles in almond using multiple PCR. Euphytica, 138: 263-269.
- Sanzol J, Herrero M (2002) Identification of self-incompatibility alleles in pear cultivars (*Pyrus communis* L.). Euphytica, 128: 325–331.
- Sapir G, Raphael AS, Shafir SH, Goldway M (2008) S-RNase based S-genotyping of Japanese plum (*Prunus salicina* Lindl.) and its implication on the assortment of cultivar-couples in the orchard. Scientia Horticulturae, 118: 8-13.
- Sonneveld T, Tobutt KR, Robbins TP (2003) Allele-specific PCR detection of sweet cherry self-incompatibility (S) alleles S1 to S16 using consensus and allele-specific primers. Theoretical and Applied Genetics, 107: 1059–1070.
- Stern RA, Sapir G, Shafir S, Dag A, Goldway M (2007) The appropriate management of honey bee colonies for pollination of Rosaceae fruit trees in warm climates. Middle Eastern Russian Journal of Crop Science and Biotechnology, 1: 13–19.
- Sutherland BG, Robbins TP, Tobutt KR (2004) Primers amplifying a range of *Prunus* S-alleles. Plant Breeding, 123: 582–584.
- Szabo Z (2003) Plum (*Prunus domestica* L.). In: Kozma, P, Nyeki J, Soltesz M, Szabo Z (Eds): Floral Biology, Pollination and Fertilisation in Temperate Zone Fruit Species and Grape. pp. 515–522. Akademiai Kiado, Budapest.
- Szabo Z, Nyeki J, Andrasfalvy A, Soltesz M (1999) Association of European plum varieties in the orchards. International Journal of Horticultural Science, 5: 21–24.
- Tao R, Watari A, Hanada T (2007) Self-compatible peach (*Prunus persica*) has mutant versions of the S haplotypes found in self-incompatible *Prunus* species. Plant Molecular Biology, 63: 109–123.
- Tobutt KR, Bodkovic R, Cerovic R, Sonneveld T, Ruzic D (2004) Identification of incompatibility alleles in the tetraploid species sour cherry. Theoretical and Applied Genetics, 108: 775–785.
- Ushijima K, Sassa H, Tao R, Yamane H, Dandekar AM, Gradziel TM, Hirano H (1998) Cloning and characterization of cDNAs encoding S-RNases from almond (*Prunus dulcis*): primary structural features and sequence diversity of the S-RNases in Rosaceae. Molecular and General Genetics, 260: 261–268.
- Vilanova S, Badenes ML, Burgos L, Martinez-Calvo J, Llacer G and Romero C (2006) Self-compatibility of two apricot selections is associated with two pollen-part mutations of different nature. Plant Physiology, 14: 629–641.
- Wang H, Zhang K, Su H, Naihaoye K (2010) Identification of the S-genotypes of several sweet cherry (*Prunus avium* L.) cultivars by AS-PCR and pollination. African Journal of Agricultural Research, 5: 250-256.
- Watari A, Hanada T, Yamane H, Esumi T, Tao R, Yaegaki H, Yamaguchi M, Beppu K and Kataoka I (2007) A low transcriptional level of Se-RNase in the Se-haplotype confers self-incompatibility in Japanese plum. Journal of the American Society for Horticultural Science, 132: 396-406.
- Yamane H, Tao R, Sugiura A (1999) Identification and cDNA cloning for S-RNases in self-incompatible Japanese plum (*Prunus salicina* Lindl. cv. Sordum). Plant Biotechnology, 16: 389–396.
- Zhang SJ, Huang SX, Heng W, Wu HQ, Zhang S L (2008) Identification of S-genotypes in 17 Chinese cultivars of Japanese plum (*Prunus salicina* Lindl.) and molecular characterisation of 13 novel S-alleles. Journal of Horticultural Science and Biotechnology, 83: 635–640.